

УДК 544.173.5; 544.15; 524.527

# ЭНЕРГИЯ ИОНИЗАЦИИ ПРОДУКТОВ РЕАКЦИЙ В СИСТЕМЕ ЭТАНОЛ–МОНООКСИД УГЛЕРОДА В МЕЖЗВЕЗДНЫХ ЛЬДАХ

О. В. Кузнецов, М. М. Евсеев, Е. А. Батракова, И. О. Антонов

*Проведен расчет энергии ионизации для сложных органических молекул, образующихся в неравновесной реакции этанола с монооксидом углерода в межзвездных льдах. Полученные энергии ионизации позволяют определять структуру изомерных молекул состава  $C_3H_6O_2$  в лабораторных условиях. Показано, что из семи возможных изомерных продуктов только этилформиат будет стабилен по отношению к фотоионизации ультрафиолетовым излучением Лаймановской линии (10.2 эВ) в условиях космоса.*

**Ключевые слова:** астрохимия, межзвездные льды, энергия ионизации.

*Введение.* С момента открытия первой молекулы в космосе прошло уже более 80 лет, и на сегодняшний день в межзвездной среде обнаружено более 200 молекул, большинство из которых органические [1]. Пути образования сложных органических молекул (СОМ) с завершенной электронной оболочкой в экстремальных условиях космоса (сверхвысокий вакуум, низкие температуры, электромагнитное излучение и заряженные частицы высоких энергий) являются предметом споров в научном сообществе. В условиях космического вакуума легко происходят бимолекулярные реакции с участием ионов и нейтральных молекул, ведущие к росту радикалов и ионов. Однако образование стабильных СОМ с замкнутой электронной оболочкой требует маловероятных в условиях межзвездной среды процессов, таких как трехчастичные столкновения либо излучательная ассоциация; скорости этих процессов недостаточны, чтобы объяснить наблюдаемую картину химического состава Вселенной.

Согласно современным астрохимическим моделям СОМ образуются главным образом на частицах межзвездной пыли и могут переходить в газовую фазу при нагревании

Самарский филиал Физического института им. П. Н. Лебедева РАН, 443011 Россия, Самара, ул. Ново-Садовая, 221; e-mail: pfizeke@gmail.com.

молекулярного газопылевого облака в процессе коллапса [2, 3]. Два основных пути гетерогенных процессов: ассоциация адсорбированных радикалов на поверхности пылевых частиц [4] и неравновесные радиационно-инициируемые реакции внутри ледяных оболочек пылевых частиц, инициированные ультрафиолетовыми фотонами и космическими лучами [5]. Прямыми подтверждением значимости второго пути стало нахождение СОМ в ходе миссий космических аппаратов на кометах 67Р/Чурюмова–Герасименко[6] и 81Р/Вильда 2 [7, 8].

Космические льды в основном состоят из воды ( $\text{H}_2\text{O}$ ), метанола ( $\text{CH}_3\text{OH}$ ),monoоксида углерода ( $\text{CO}$ ), углекислого газа ( $\text{CO}_2$ ), метана ( $\text{CH}_4$ ), формальдегида ( $\text{H}_2\text{CO}$ ) и аммиака ( $\text{NH}_3$ ) [9], поэтому реакции простых органических молекул в льдах, состоящих из этих молекул, активно исследуются. Кроме того, было показано, что в межзвездных льдах могут образовываться более сложные молекулы, такие как этанол [10–14]. Реакции этанола с простыми молекулами могут вести к образованию более сложных молекул, наблюдавшихся в межзвездной среде. В частности, в реакции этанола и monoоксида углерода может образовываться этилформиат ( $\text{HCOOC}_2\text{H}_5$ ), недавно открытый в молекулярном облаке Стрелец [15].

Расчет энергии ионизации продуктов реакции этанола и monoоксида углерода необходим по двум причинам. Во-первых, фотоиндуцированные процессы зачастую определяют время жизни молекул в межзвездной среде при взаимодействии с ультрафиолетовым излучением [16]. Так, например, для небольших СОМ в условиях молодых звездных объектов и протопланетных дисков определяющее значение может иметь ионизация ультрафиолетовыми фотонами линии Лайман-альфа (10.2 эВ), которая особенно интенсивна для данных объектов. Во-вторых, при изучении реакции этанола и monoоксида углерода в лабораторных условиях методом фотоионизационной масс-спектрометрии (ФИМС) с перестраиваемым источником вакуумного ультрафиолетового излучения, энергии ионизации продуктов позволяют определять их молекулярную структуру и различать изомеры.

На рис. 1 представлены продукты реакции этанола и monoоксида углерода в межзвездных льдах. В частности, этилформиат образуется при внедрении атома углерода молекулы monoоксида углерода в связь O–H; аналогичным путем во внедрении в связи C–H получаются 2 изомера гидроксипропанала. Их енольные таутомеры также были добавлены к схеме; хотя таутомеризация карбонильного соединения требует преодоления высокоэнергетического барьера, во льду она может происходить за счет неравновесных процессов с участием возбужденных молекул либо путем передачи атома водорода

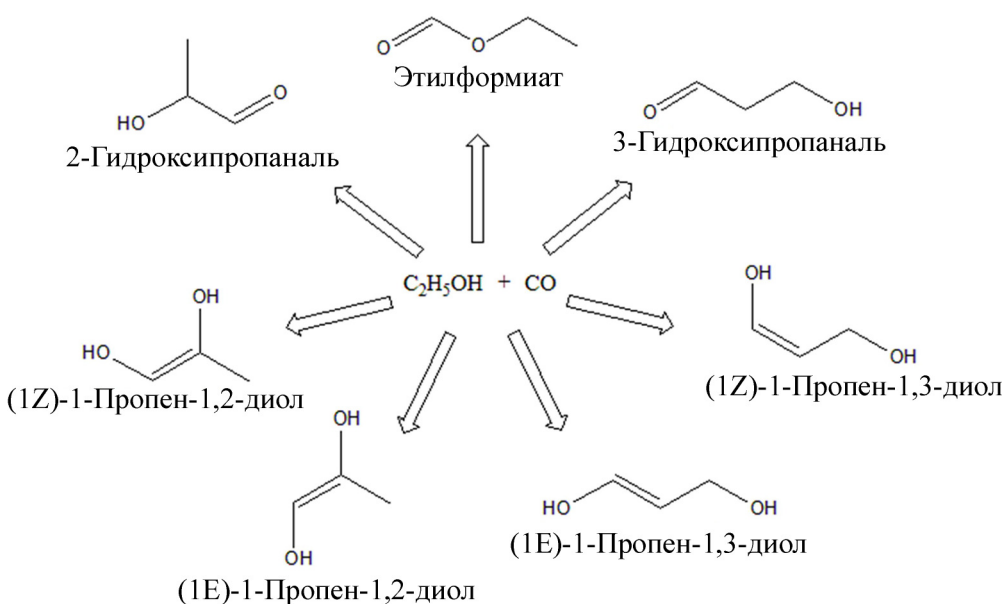


Рис. 1: Возможные продукты реакции этианола сmonoоксидом углерода.

через окружающие молекулы [17]. Более сложные продукты, например, гетероциклические эпокси-структуры, аналоги которых могут образовываться в газофазной реакции метанола смонооксидом углерода [18], требуют изомеризации первичных продуктов через высокоэнергетические переходные состояния, что маловероятно в условиях низких температур в межзвездных льдах.

Расчет энергий ионизации семи предложенных продуктов осложняется наличием у них большого числа конформеров, получаемых при внутреннем вращении молекулы вокруг одинарных связей C–C или C–O и отличающихся по структуре и по энергии. В первом приближении можно определить число конформеров как  $3^n$ , где  $n$  – число одинарных связей C–C или C–O, вращение вокруг которых приводит к изменению структуры. В реальности число конформеров может быть меньше чем  $3^n$  из-за симметрии вращающихся групп атомов; так, вращение метильной группы не приводит к появлению новых конформеров. В данной работе был проведен систематический расчет адиабатических энергий ионизации всех возможных конформеров предложенных продуктов реакции этанол + мооксид углерода.

*Методы.* Для получения точных значений энергий нейтрального и катионного состояний каждого конформера были проведены расчеты по композитной схеме CBS–QB3 [19, 20]. Данный подход позволяет получить молекулярные параметры и энергии с химической точностью: 0.01–0.02 Å для длин связей, 1–2° для углов между связями, 4–

8 кДж/моль для относительных энергий [20]. *Ab initio* расчеты электронной структуры выполнялись в программном пакете GAUSSIAN 09 [21].

Для получения достоверных данных по потенциалам ионизации было важно учесть в расчетах все возможные конформеры, получающиеся из-за внутренних вращений вокруг одиночных связей. Для этого был выработан алгоритм, позволяющий в полуавтоматическом режиме подготовить входные файлы для всех конформеров для программного пакета GAUSSIAN 09. Проиллюстрируем алгоритм на примере этилформиата.

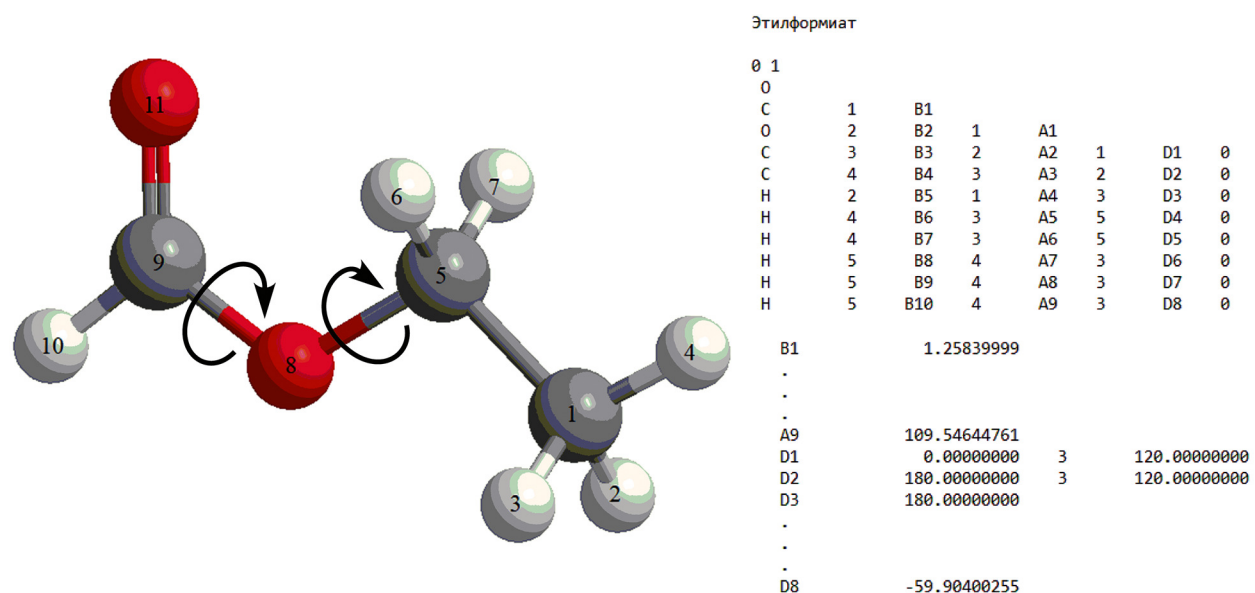


Рис. 2: Структура этилформиата с обозначенными осями внутренних вращений и соответствующая ей *z*-матрица.

На первом шаге алгоритма создавалась *z*-матрица состояния с выделенными посредством введения символьных обозначений (напр., D1, D2, ...) двугранными углами, соответствующими рассматриваемым внутренним вращениям. Символьные обозначения в дальнейшем определялись в следующем за *z*-матрицей блоке строкой вида: “переменная, текущее значение, количество значений, инкремент”. Структура этилформиата с обозначенными осями внутренних вращений и соответствующая ей *z*-матрица приведены на изображении (рис. 2). В приведённой спецификации внутренним вращениям соответствуют двугранные углы D1 (C4–O3–C2–O1) и D2 (C5–C4–O3–C2). Определение D1 и D2 означает, что рассматривались по 3 значения каждого двугранного угла с шагом в  $120^\circ$  и для каждой комбинации значений создавался входной файл.

Для этой цели авторами работы был составлен скрипт на языке программирования Python. Принимая в качестве входных данных созданную на первом шаге алгоритма спецификацию, программа определяет двугранные углы, соответствующие внутренним вращениям, и создает входной файл GAUSSIAN для каждой их комбинации в соответствии с выбранной схемой расчета, а именно: проведение CBS-QB3 расчёта для нейтрального состояния, использование полученной на этом шаге оптимизированной геометрии в качестве исходной для оптимизации катионного состояния с последующим CBS-QB3 расчетом. Данная расчетная схема позволяла определять адиабатические потенциалы ионизации, т. е. разности между минимумами потенциальных энергий иона и нейтральной молекулы с химической точностью (порядка 5 кДж/моль), но для ряда систем требовалось определять также и вертикальные потенциалы ионизации. Для этой цели расчёт электронной энергии катионного состояния методом CBS-QB3 проводился с использованием итоговой геометрии нейтрального состояния без оптимизации (опция StartMP2 команды CBS-QB3 в пакете GAUSSIAN 09). “Замораживание” геометрии приводило к появлению мнимых колебательных гармонических частот, которые при расчете энергии нулевых колебаний игнорировались. Расчётная схема представлена в скрипте в виде тестового шаблона, что позволяло легко модифицировать ее согласно требованиям.

Результаты оптимизации геометрии конформеров одного из возможных продуктов реакции этанола с монооксидом углерода – этилформиата и соответствующих им катионов представлены в табл. 1. Всего было найдено четыре конформера, отличающихся вращением формильной и этильной групп ( $-\text{COH}$  и  $-\text{C}_2\text{H}_5$ ) вокруг связи C–O с “мостиковым” кислородным атомом. Конформеры №№ 1 и 2 наиболее энергетически выгодны за счет взаимодействия атома кислорода формильной группы с водородными атомами этильной группы. Также они имеют наиболее высокую адиабатическую энергию ионизации.

Результаты расчетов потенциалов ионизации и относительных внутренних энергий изомеров (усредненных по конформерам энергий основного электронно-колебательного уровня, взятых относительно наиболее энергетически выгодных конформеров этилформиата №№ 1 и 2) для всех продуктов реакции этанола и монооксида углерода представлены в табл. 2. Самым энергетически выгодным продуктом является этилформиат, конформеры которого имеют относительную энергию в диапазоне 0–24 кДж/моль. Также этилформиат имеет наивысшую энергию ионизации: у него было найдено 4 конформера со средней энергией ионизации, равной 10.61 (7) эВ, и минимальной – 10.55(4) эВ. В

Таблица 1

*Структуры и электронно-колебательные энергии ( $E_{el} + ZPE$ ) конформеров этилформиата и соответствующих им катионов при 0 K*

Нейтральный конформер	$E_{el} + ZPE$ , Хартри	Конформер катиона	$E_{el} + ZPE$ , Хартри
	-267.969		-267.577
	-267.969		-267.577
	-267.962		-267.574
	-267.960		-267.570

скобках стоит значение среднеквадратичного отклонения потенциала ионизации, которое определялось путем расчета погрешности метода CBS-QB3 и среднеквадратичного отклонения выборки конформеров для данного изомера. Экспериментально измеренная при помощи метода совпадений фотоэлектронов и фотоионов энергия ионизации этилформиата составляет 10.61 (5) эВ [22], что подтверждает высокую точность выбранного метода для расчетов энергий ионизации.

Из оставшихся продуктов изомеры 2- и 3-гидрокисипропаналь занимают промежуточное положение по относительной энергии (39–76 кДж/моль) и энергии ионизации (9.8–10.6 эВ). Таутомерные им пропендиолы менее термодинамически устойчивы (66–105 кДж/моль) и имеют наиболее низкие энергии ионизации (7.84–9.18 эВ). Несмотря

на существенные различия во внутренней энергии, все предложенные на рис. 1 изомеры могут образовываться в неравновесных радиохимических процессах в условиях межзвездных льдов. После образования продукты могут сохраняться в криогенных условиях без последующей изомеризации в более стабильные формы. После нагрева ледяных оболочек в процессе коллапса газопылевого облака и последующего выхода продуктов реакций в газовую фазу все конформеры этилформиата стабильны по отношению к ионизации фотонами Лайман-альфа с энергией 10.2 эВ. Два конформера 2-гидроксипропанала также имеют энергию ионизации выше 10.2 эВ; однако при коллапсе и последующем нагреве газопылевого облака до температур порядка 300 К они могут превращаться в конформеры с энергиями ионизации менее 10.2 эВ, которые будут ионизироваться ультрафиолетовым(УФ)-излучением Лайман-альфа. Все остальные продукты имеют более низкую энергию ионизации и будут быстро фотоионизироваться вблизи молодых звезд. Таким образом, несмотря на возможность образования всех рассмотренных 7 изомеров в неравновесной реакции этанола с монооксидом углерода в межзвездных льдах, можно ожидать, что этилформиат будет доминировать в газовой фазе при нагреве.

## Таблица 2

*Количество конформеров ( $N_{\text{конф}}$ ), средние относительные электронно-колебательные энергии конформеров при 0 K ( $\Delta E_{\text{конф}}$ ) и энергии ионизации (AIP) продуктов реакции этанола и монооксида углерода*

Название	$N_{\text{конф}}$	$\Delta E_{\text{конф}}, \text{ кДж/моль}$	AIP, эВ
Этилформиат	4	11 (11)	10.60 (6)
2-Гидроксипропаналь	5	51 (8)	10.2 (2)
3-Гидроксипропаналь	13	61 (3)	9.9 (1)
(1Z)-1-пропен-1,2-диол	3	74 (9)	7.98 (7)
(1E)-1-пропен-1,2-диол	4	93 (9)	7.97 (8)
(1Z)-1-пропен-1,3-диол	8	99 (6)	8.9 (2)
(1E)-1-пропен-1,3-диол	5	101 (4)	9.0 (1)

Для определения структуры изомеров с помощью фотоионизационной массспектрометрии можно использовать перестраиваемый источник вакуумного УФ-излучения (синхротрон, ячейку четырехволнового смешения в инертных газах). При этом удобно применить схему поэтапного увеличения энергии фотонов, позволяющую сопоставить рост массового пика  $\text{C}_3\text{H}_6\text{O}_2$  ( $M/z = 74.03678$ ) с добавлением изомеров с

более высокой энергией ионизации. На первом этапе изомеры 1-пропен-1,2-диола селективно фотоионизируются в диапазоне энергий 8–8.7 эВ (142.5–155 нм). Затем изомеры 1-пропен-1,3-диола фотоионизируются в диапазоне энергий 9–9.7 эВ (128–138 нм). После этого 3-гидроксипропаналь и 2-гидроксипропаналь фотоионизируются в диапазоне энергий 9.9–10 эВ (124–125 нм) и 10.1–10.2 эВ (122–123 нм), соответственно. Наконец, этилформиат фотоионизируется фотонами энергий более 10.6 эВ (длины волн короче 117 нм).

**Заключение.** Предложена расчетная схема для определения энергии ионизации сложных органических молекул, основанная на использовании композитного *ab initio* метода CBS-QB3 для расчетов внутренних энергий всех возможных конформеров нейтральной молекулы и иона. Стартовые геометрии для структуры конформеров задаются автоматически путем сканирования диэдральных углов функциональных групп с шагом 120 градусов.

Получены значения внутренних энергий и энергий ионизации для всех 7 возможных изомерных продуктов реакции этанола с монооксидом углерода в межзвездных льдах, образующихся при внедрении молекулы монооксида углерода в связи О–Н и С–Н – этилформиата, 2- и 3-гидроксипропаналей, а также их таутомеров пропен-1,2-диола и пропен-1,3-диола. Предложена схема для различения изомеров состава  $C_3H_6O_2$ , образующихся в реакции этанола с монооксидом углерода при помощи фотоионизационной масс-спектрометрии с перестраиваемым источником вакуумного УФ-излучения.

Результаты расчетов свидетельствуют, что наиболее энергетически выгодным и стабильным продуктом для реакции этанола с CO является этилформиат. Хотя все 7 продуктов могут образовываться в неравновесной реакции внутри ледяных оболочек пылевых частиц, при нагреве пылевого облака в газовой фазе будет доминировать этилформиат, как наиболее энергетически выгодная и устойчивая по отношению к фотоионизации молекула. Недавнее обнаружение этилформиата в молекулярном облаке Стрелец B2 косвенно подтверждает сделанные выводы. Поскольку этанол и монооксид углерода были найдены в космическом пространстве и могут легко конденсироваться на поверхность пылевых частиц при низких температурах, предложенная реакция этанола с монооксидом углерода является одним из наиболее вероятных путей образования этилформиата в условиях космоса.

Исследование выполнено при поддержке Министерства образования и науки Российской Федерации (соглашение между Министерством науки и высшего образования Российской Федерации и ФИАН № 075-15-2021-597 от 2 июня 2021 г.). Подробные ре-

зультаты расчетов для СОМ, рассмотренных в статье, и код программы для определения энергий индивидуальных конформеров будут предоставлены по запросу к автору-корреспонденту.

## Л И Т Е Р А Т У Р А

- [1] E. Herbst, AIP Conference Proceedings **1543**(1), 15 (2013). DOI: 10.1063/1.4812597.
- [2] S. A. Khaibrakhmanov, A. E. Dudorov, A. I. Vasyunin, M. Y. Kiskin, Bulletin of the Lebedev Physics Institute **48**(10), 312 (2021). DOI: 10.3103/S1068335621100067.
- [3] E. Herbst, E. F. Van Dishoeck, Annual Review of Astronomy and Astrophysics **47**, 427 (2009).
- [4] C. Walsh et al., A & A **563**, A33 (2014). <https://doi.org/10.1051/0004-6361/201322446>.
- [5] C. Zhu et al., The Journal of Physical Chemistry Letters **13**(30), 6875 (2022). DOI: 10.1021/acs.jpclett.2c01628.
- [6] F. Capaccioni et al., Science **347**(6220), aaa0628 (2015). DOI: 10.1126/science.aaa0628.
- [7] A. J. Westphal, S. C. Fakra, Z. Gainsforth, et al., The Astrophysical Journal **694**(1), 18 (2009). DOI: 10.1088/0004-637X/694/1/18.
- [8] J. E. Elsila, D. P. Glavin, J. P. Dworkin, Meteoritics & planetary science **44**(9), 1323 (2009). <https://doi.org/10.1111/j.1945-5100.2009.tb01224.x>.
- [9] A. A. Boogert, P. A. Gerakines, D. C. Whittet, Annual Review of Astronomy and Astrophysics **53**, 541 (2015). <https://doi.org/10.1146/annurev-astro-082214-122348>.
- [10] A. Bergantini, S. Góbi, M. J. Abplanalp, R. I. Kaiser, The Astrophysical Journal **852**(2), 70 (2018). DOI: 10.3847/1538-4357/aa9ce2.
- [11] A. Bergantini, P. Maksyutenko, R. I. Kaiser, The Astrophysical Journal **841**(2), 96 (2017). DOI: 10.3847/1538-4357/aa7062.
- [12] J. Perrero et al., ACS Earth and Space Chemistry **6**(3), 496 (2022). DOI: 10.1021/acsearthspacechem.1c00369.
- [13] S. Ferrero, C. Ceccarelli, P. Ugliengo, et al., The Astrophysical Journal **951**(2), 150 (2023). DOI: 10.3847/1538-4357/acd192.
- [14] A. Schriver, L. Schriver-Mazzuoli, P. Ehrenfreund, L. d'Hendecourt, Chemical Physics **334**(1), 128 (2007). <https://doi.org/10.1016/j.chemphys.2007.02.018>.
- [15] A. Belloche, R. Garrod, H. Müller, et al., Astronomy & Astrophysics **499**(1), 215 (2009). DOI: <https://doi.org/10.1051/0004-6361/200811550>.

- [16] M. S. Murga, D. S. Wiebe, Bulletin of the Lebedev Physics Institute **49**(12), 416 (2022). DOI: 10.3103/S1068335622120077.
- [17] J. H. Marks et al., Chem, 2023. <https://doi.org/10.1016/j.chempr.2023.07.003>.
- [18] V. G. Kiselev, S. Swinnen, V. S. Nguyen, et al., The Journal of Physical Chemistry A **114**(17), 5573 (2010). DOI: 10.1021/jp911655a.
- [19] J. A. Montgomery Jr, M. J. Frisch, J. W. Ochterski, G. A. Petersson, The Journal of Chemical Physics **110**(6), 2822 (1999). DOI: <https://doi.org/10.1063/1.477924>.
- [20] J. A. Montgomery Jr, M. J. Frisch, J. W. Ochterski, G. A. Petersson, The Journal of Chemical Physics **112**(15), 6532 (2000). DOI: <https://doi.org/10.1063/1.481224>.
- [21] M. J. Frisch et al., *Gaussian 09 Revision A.2*, ed, 2009.
- [22] Q. Zha, T. Nishimura, G. G. Meisels, International Journal of Mass Spectrometry and Ion Processes **120**(1), 85 (1992). DOI: [https://doi.org/10.1016/0168-1176\(92\)80054-5](https://doi.org/10.1016/0168-1176(92)80054-5).

Поступила в редакцию 3 ноября 2023 г.

После доработки 12 февраля 2024 г.

Принята к публикации 13 февраля 2024 г.